

FOTO 1.- 27-14-GS-CG-9001

Estructura sinclinal en las proximidades de la "paridera de Arendalay"



FOTO 10.- 27-14-CG-9010

Rio Ebro a la salida del Barranco de la Virgen



FOTO 11 y 12.- 27-14-GS-CG-9011 y 9012

Contacto erosivo entre la "Unidad Evaporítica" y la "Unidad Carbonatada" (color mas claro). Loma de Utebo.

FOTO 11 y 12.- 27-14-GS-CG-9011 y 9012

Contacto erosivo entre la "Unidad Evaporítica" y la "Unidad Carbonatada" (color mas claro). Loma de Utebo.





FOTO 13.- 27-14-GS-CG-9013

Niveles carbonatados basales próximos a "Mina Real" (391 m)



FOTO 14.- 27-14-GS-CG-9014

"Mina Real" (397 m) desde Torres de Berrellén



FOTO 15.- 27-14-GS-CG-9015

Panorámica del curso meandriforme del río Ebro y del escarpe en la margen izquierda; al fondo el "Moncayo".



FOTO 16.- 27-14-GS-LQ-9016

Fractura inversa y bandas de cizalla al tramo inferior de una terraza



FOTO 17

FOTO 17 y 18.- 27-14-GS-LQ-9017-9018

Fracturas inversas que afectan a depósitos de terraza

FOTO 17 y 18.- 27-14-GS-LQ-9017-9018

Fracturas inversas que afectan a depósitos de terraza



FOTO 18



FOTO 19

FOTO 19.- 27-14-GS-LQ-9019

Deformación sinsedimentaria en un depósito de terraza, debido a la disolución del yeso infrayacente



FOTO 2.-27-14-GS-CG-9002

Estructura cabalgante de pequeña escala que afecta al tramo arcilloso. Las capas más resistentes son yesos, denominados localmente como "Tras Ventas". Paraje de "Carrizo".

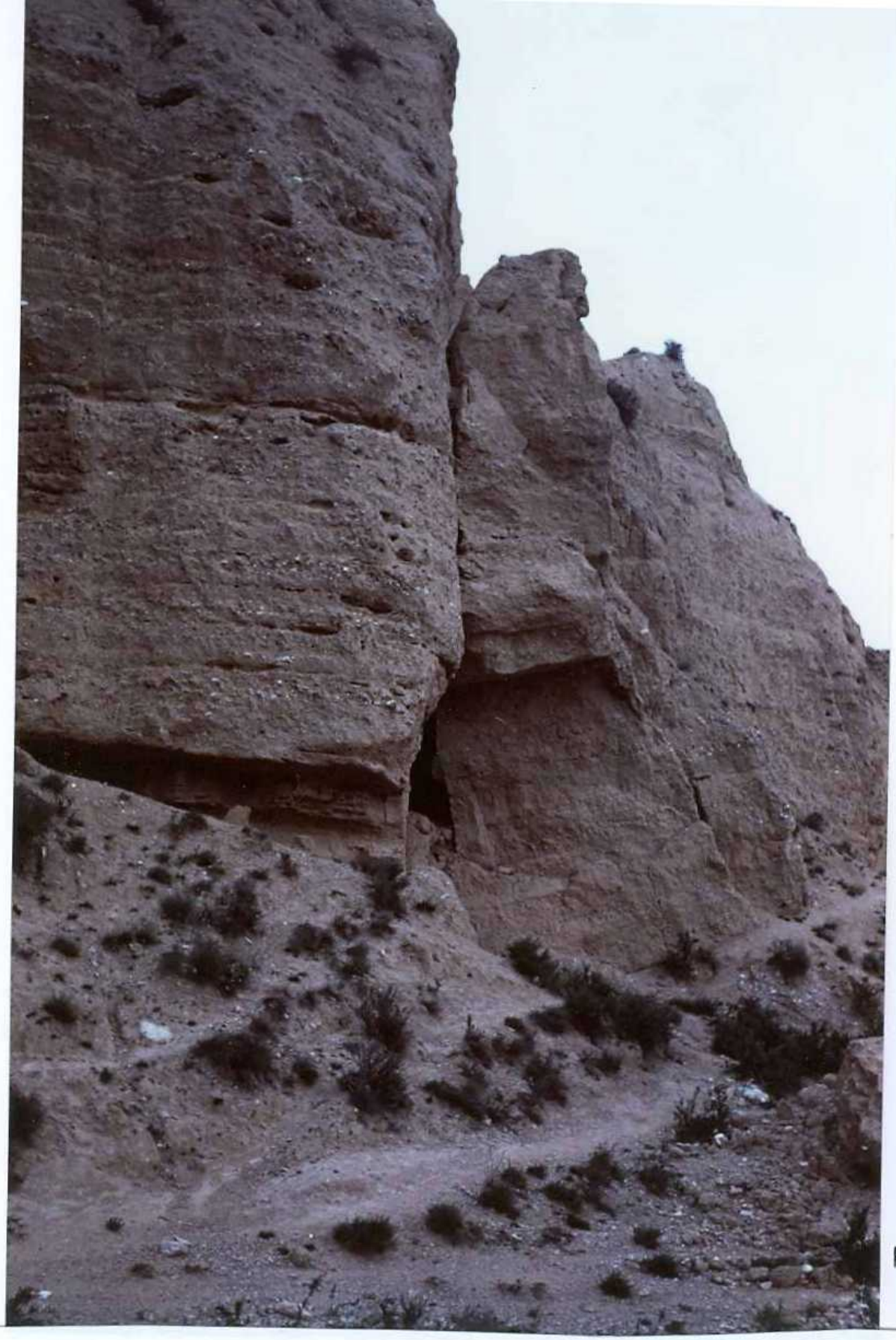


FOTO 20

FOTO 20.- 27-1"-GS-LQ-9020

Bloques desprendidos en escarpe de la margen izquierda



FOTO 21.- 27-14-GS-LQ-9021

Fractura normal que afecta a un depósito de glacis (salto mínimo 2 m)



FOTO 22.- 27-14-GS-LQ-9022

Depósito de terraza basculado, con fracturas inversas en su tramo inferior. La parte superior no presenta deformaciones



FOTO 23.- 27-14-GS-LQ-9023

Deformaciones hidroplásticas en materiales limoarenosos de una terraza



FOTO 24.- 27-14-GS-LQ-9024

Parte inferior de una terraza afectada por un basculamiento



FOTO 3.- 27-14-GS-CG-9003

Detalle en la estructura anterior en niveles margoarcillosos



FOTO 4.- 27-14-GS-CG-9004

Cantera de yeso en Juslibol (perfil estratigráfico nº 02)



FOTO 5.- 27-14-GS-CG-9005

Eflorescencias salinas en los yesos de la cantera anterior



FOTO 6.- 27-14-GS-CG-9006

Detalle de las eflorescencias



FOTO 7.- 27-14-GS-CG-9007

Arroyo de agua salada en el Barranco de la Virgen

Arroyo de agua salada en el Barranco de la Virgen



FOTO 8.- 27-14-GS-CG-9008



FOTO 9.- 27-14-GS-CG-9009

Depresión de "El Castellar"